



سنجش از دور  
و  
GIS ایران



سنجش از دور و GIS ایران سال پانزدهم، شماره چهارم، زمستان ۱۴۰۲  
Vol.15, No. 4, Winter 2023 Iranian Remote Sensing & GIS

۱۶۰

مقاله پژوهشی

## تحلیل روند تغییرات منابع آب و عوامل مؤثر در آن در حوضه آبریز فلات مرکزی ایران با استفاده از محصولات ماهواره‌ای

محسن ابراهیمی خوسفی<sup>۱</sup> و زهره ابراهیمی خوسفی<sup>۲</sup>

۱. استادیار سنجش از دور گروه جغرافیا، دانشگاه پزد
۲. دانشیار بیابان‌زدایی گروه علوم و مهندسی محیط‌زیست، دانشکده منابع طبیعی، دانشگاه چیرفت

تاریخ پذیرش مقاله: ۱۴۰۱/۰۸/۱۷

تاریخ دریافت مقاله: ۱۴۰۱/۰۶/۲۳

### چکیده

حوضه آبریز فلات مرکزی ایران، بهدلیل تغییرات اقلیمی و کاهش منابع آب در دسترس از یکسو و افزایش جمعیت و به‌تبع آن، افزایش تقاضا از سوی دیگر، با بحران شدید آب مواجه است. دانش سنجش از دور و در دسترس بودن محصولات متعدد ماهواره‌ای امکان پایش روند تغییرات پارامترهای گوناگون محیطی، بهویژه منابع آب سطحی و زیرزمینی را با دقت مناسب فراهم آورده است. بدین‌منظور، با استفاده از سامانه گوگل ارث انجین، شائزه محصول ماهواره‌ای شامل پارامترهای محیطی متفاوت، همچون بارش، دما، تبخیر و تعرق، رطوبت خاک، رواناب، ضخامت آب معادل (GRACE)، شاخص پوشش گیاهی و مساحت پیکره‌های آبی، در بازه زمانی سال‌های ۲۰۰۰ تا ۲۰۲۲، دریافت و آمده‌سازی شد. سپس با استفاده از آزمون نایارامتریک من-کندا، روند و تخمین گر شیب سن، روند تغییرات این پارامترها بررسی شد. با توجه به نتایج حاصل، تغییرات گرانش زمین که از نشانگرهای سطح آب زیرزمینی است و نیز مساحت پیکره‌های آبی که بیانگر منابع آب سطحی است و رطوبت خاک، روند کاهشی و معنی دار را نشان داد؛ در حالی که دمای حداقل، دمای حداقل و تبخیر و تعرق پتانسیل و شاخص NDVI بیانگر روند افزایشی معنی داری بود. به رغم کاهش مساحت پیکره‌های آبی، شاخص پوشش گیاهی افزایش یافته است که افزایش سطح زیرکشت محصولات کشاورزی و برداشت بی‌رویه از منابع آب زیرزمینی را نشان می‌دهد و روند کاهشی محصول ماهواره GRACE نیز مؤید این واقعیت است. بررسی ضرایب همبستگی بین پارامترهای دارای روند معنی دار نیز نشان داد بین و NDVI، دمای حداقل، دمای حداقل، رطوبت خاک و مساحت پیکره‌های آبی، همبستگی معنی داری وجود دارد.

**کلیدواژه‌ها:** سنجش از دور، روند تغییرات، گوگل ارث انجین، منابع آب سطحی، منابع آب زیرزمینی، پیکره‌های آبی.

\* نویسنده مکاتبه‌کننده: پزد، صفائیه، دانشگاه پزد، گروه جغرافیا، ساختمان امامت، اتاق ۲۱۵. تلفن: ۰۳۵۳۱۲۳۳۸۹۴

Email: Mohsen.ebrahimi@yazd.ac.ir  
<https://orcid.org/0000-0002-2756-0388>  
<https://doi.org/10.48308/gisj.2022.102889>



Copyright: © 2023 by the authors. Submitted for possible open access publication under the terms and conditions of the Creative Commons Attribution (CC BY) license (<https://creativecommons.org/licenses/by/4.0/>).

## ۱- مقدمه

مطلوب از پویایی منابع آب در مقیاس حوضه است. این دانش و درک صرفاً براساس داده‌ها و مشاهدات حاصل می‌شود و زیربنای مدیریت بهینه و کارآمد آب، از نظر اقتصادی و اجتماعی است و به تأثیرات زیست محیطی و استفاده‌کنندگان پایین‌دستی نیز نگاهی دارد. به طور خاص، به اطلاعاتی درمورد متغیرهای هیدرولوژیکی که چرخه هیدرولوژیکی را خشکی را تشکیل می‌دهند، نحوه تغییر آنها در طول زمان و مکان، و نحوه ظهور آنها به صورت رخدادهای حدی و خطرهای متعاقب آن نیاز است (García et al., 2016; Hering, 2014; García et al., 2016; Walker, 2000). علاوه‌بر این، کاربرد سری‌های زمانی طولانی‌مدت (چند دهه) از متغیرهای هیدرولوژیکی، برای تخمین خطر سیل یا خشکسالی، بهمنزله و رویدی مدل‌های پیش‌بینی برای کاهش خود خطر و تأثیرات آن، ضرورت دارد (Serinaldi & Kilsby, 2017).

سنجدش از دور ماهواره‌ای، در جایگاه منبع اطلاعات تکمیلی برای شبکه‌های نظارت زمینی، کاربردی روزافزون دارد و در بسیاری موارد و مناطق، تنها منبع در دسترس است. سنجدندهای ماهواره‌ای قادر به اندازه‌گیری مستقیم و غیرمستقیم تقریباً تمامی اجزای چرخه هیدرولوژیکی‌اند؛ از جمله بارش، تبخیر و تعرق، سطح آب در یاچه‌ها و تالاب‌ها، رطوبت خاک، مجموع ذخایر آبی و زیرزمینی و دما (Lettenmaier et al., 2015; McCabe et al., 2017; Zhang et al., 2016) و می‌توانند اطلاعات سری‌های زمانی متفاوت را در اختیار کاربران و پژوهشگران قرار دهند. همچنین این سنجدندها قادر به ارائه اطلاعات حیاتی، در حمایت از مدیریت آب و نظارت بر بلایای طبیعی (همچون سیل و خشکسالی) و تأثیرات مخرب آنها هستند (Van Dijk & Renzullo, 2011; Jones, 2009; Dalin et al., 2017).

با توجه به روند گرم شدن کره زمین برآثر گازهای گلخانه‌ای و تغییرات اقلیمی، مدیریت منابع آب چالش جهانی بسیار مهمی به شمار می‌رود. آب برای زندگی انسان، در قالب آب آشامیدنی و کمک به بهداشت، ضروری است و در تأمین غذا، انرژی و سلامت نیز اهمیت فراوانی دارد. رخدادهای حدی و تغییرات شدید در چرخه آب که به صورت سیل و خشکسالی جلوه می‌کنند، نیز می‌توانند تأثیرات شگرفی در تمامی فعالیت‌های انسانی، بهویژه در جمعیت‌های آسیب‌پذیر، داشته باشند. بنابراین آب در توسعه اهمیت اساسی دارد و این نقش آن از اهداف توسعه پایدار سازمان ملل متحده شناخته شده است (United Nations, 2016). مدیریت منابع آب برای توسعه پایدار، در مناطق دارای شبکه‌های پایش زمینی و پراکنده، با چالش‌های زیادی مواجه است. در بسیاری از مناطق، شبکه‌های نظارت آب‌وهواشناسی و کشاورزی اغلب پراکنده‌اند و تأخیر زیاد دارند و بنابراین، در تصمیم‌گیری در زمان واقعی، کاربرد عملی ندارند. در مناطق در حال توسعه که مسلماً به بیشترین مقدار اطلاعات نیاز است، به دلیل کاهش تعداد شبکه‌های آب‌وهواشناسی و نظارت کشاورزی و فعدان سرمایه‌گذاری مداوم در زیرساخت و آموزش، زیرساخت‌های جمع‌آوری داده‌ها و ظرفیت انسانی برای پایش و پیش‌بینی خطرهای اغلب اندک است (Fay et al., 2017; Lorenz & Kunstmann, 2012). دانش سنجش از دور و رشد تصاعدی اطلاعات مبتنی بر ماهواره، طی چند دهه گذشته، فرصت‌های بی‌سابقه‌ای را برای پشتیبانی و بهبود مدیریت منابع آب فراهم کرده است. علاوه‌بر این، موانع معمول و قدیمی برای دسترسی و استفاده از داده‌های ماهواره‌ای در حال کاهش است زیرا نوآوری‌های فناورانه، برای مدیریت و ارائه این ابیوه اطلاعات به مخاطبان گستردتر، فرصت‌هایی فراهم می‌کنند (Sheffield et al., 2018). دست‌یابی به امنیت آب و افزایش انعطاف‌پذیری در برابر تغییرات شدید هیدرولوژیکی مستلزم درکی

(Ashrafzadehafshar et al., 2016)، استان قزوین Eftekhari et al., (Faraji et al., 2017) دشت بیرجند (Soleimani Sardoo & Hafezparast, 2019)، استان کرمانشاه (Azareh, 2021) و حوضه دریاچه ارومیه (Issazadeh & Argany, 2021) ارزیابی کردند. نتایج این پژوهش‌ها بیانگر کاهش منابع آب زیرزمینی، در تمامی مناطق یادشده، طی دو دهه اخیر است.

مدیریت منابع آب، همان‌گونه که در سطح جهانی مورد توجه است، در کشور ایران دوچندان اهمیت دارد. کشور ایران در منطقه خشک و نیمه‌خشک جهان واقع شده و دسترسی به منابع آب پایدار همواره از مسائل و چالش‌های اساسی مناطق گوناگون آن بوده است. در پنج دهه اخیر، میانگین دمای کشور با شبیه حدود ۰/۴ درجه سلسیوس بر دهه، افزایش و میزان بارندگی با شبیه ۱۱ میلی‌متر بر دهه، کاهش یافته است. از سال ۱۳۸۴ تا کنون، شاخص خشکسالی دهه‌ای کشور منفی بوده و از آن زمان تا کنون، کشور با خشکسالی تجمعی مواجه بوده است. منابع آب تجدیدپذیر کشور نیز، طی پانزده سال اخیر، از ۱۲۵ میلیارد مترمکعب به ۸۹ میلیارد مترمکعب کاهش یافته است. میانگین کسری مخازن آب زیرزمینی نیز، طی ده سال آبی اخیر، سالیانه حدود ۵ میلیارد مترمکعب بوده؛ به‌گونه‌ای که در حال حاضر، از مجموع حدود ۵۰۰ میلیارد مترمکعب، بیش از ۱۲۰ میلیارد مترمکعب از ذخایر استاتیک منابع آب زیرزمینی از دست رفته است. برداشت‌های بی‌رویه و کاهش نزولات جوی باعث شده است تعداد دشتهای ممنوع کشور، از پانزده عدد در سال ۱۳۴۷ به ۴۰۹ دشت (از کل ۶۰۹ دشت کشور) در سال ۱۳۹۷ افزایش

- 
1. Standardized Precipitation Evapotranspiration Index
  2. Merged Dataset Drought Index
  3. Normalized Difference Vegetation Index
  4. Palmer Drought Severity Index
  5. Thermal Condition Index

با توجه به اهمیت موضوع، مطالعات و پژوهش‌های متعددی نیز در ایران، در حوزه مدیریت منابع آب و پایش آن با استفاده از تصاویر ماهواره‌ای، انجام شده است. در مطالعه‌ای، ارزیابی شاخص‌های خشکسالی کشاورزی در حوضه آبریز فلات مرکزی ایران، با استفاده از ماهواره گرانش‌سنگی انجام شد و فراوانی، مدت و شدت خشکسالی کشاورزی این حوضه، از طریق شاخص کمبود ذخیره کلی آب، داده‌های گرانشی ماهواره و شاخص بارش استاندارد (SPEI)<sup>۱</sup> به دست آمد. براساس این محاسبات، ناحیه مورد مطالعه چندین خشکسالی کشاورزی را با شدت و گستردگی متفاوت پشت‌سر گذاشته که توزیع زمانی- مکانی و شدت خشکسالی حاصل از هر دو شاخص با یکدیگر مطابقت خوبی را نشان داده است (Nemati et al., 2019). در مطالعه‌ای دیگر، شاخصی کارآ مبتنی بر تلفیق داده‌های ثقل‌سنگی ماهواره‌ای برای پایش خشکسالی در کشور ایران، با نام شاخص خشکسالی داده‌های ادغام شده (MDI)<sup>۲</sup> مطرح شد. برای تهیه این شاخص، از محصولات ماهواره‌ای شاخص پوشش گیاهی (NDVI)<sup>۳</sup> سنجنده مادیس و اطلاعات ایستگاه‌های زمینی استفاده شده است. نتایج به دست آمده همبستگی ۰/۷۵ درصدی با شاخص استاندارد جهانی شدت میزان خشکسالی پالمر (PDSI)<sup>۴</sup> را مشخص کرد. نتایج شاخص MDI و روند خشکسالی طی سال‌های ۲۰۰۸ تا ۲۰۱۵ در ایران را به‌وضوح نشان داد (Farzaneh et al., 2021). در پژوهشی دیگر، از داده‌های ماهواره‌ای سامانه گوگل ارث انجین همچون NDVI، دمای سطحی زمین در شب و روز، رطوبت سطحی خاک، بارش، شاخص وضعیت دما (TCI)<sup>۵</sup> و تبخیر و تعرق، برای پایش و پیش‌بینی تغییرات پهنه‌ای تالاب از لی، مبتنی بر یک سیستم هوشمند عصبی- فازی استفاده شده است (Seyed Akhoondzadeh Hanzaei, 2022).

مطالعات متعددی نیز داده‌های ماهواره GRACE و ارتباط آن با نوسانات سطح آب‌های زیرزمینی در مناطق گوناگون کشور را از جمله منطقه جنوب ایران

و سنتینل طی سال‌های ۲۰۱۶ تا ۲۰۲۰، در سامانه گوگل ارث انجین ازسوی پویان<sup>۱</sup> و همکاران (۲۰۲۲) نشان از وقوع خشکسالی با شدت متوسط، در ایران، در سال ۲۰۱۸ دارد. مطالعه طاهری دهکردی<sup>۲</sup> و همکاران (۲۰۲۲) نیز که بر بستر سامانه گوگل ارث انجین و با استفاده از سری زمانی ۱۸۰۰ تصویر لندست، از سال ۱۹۹۰ تا سال ۲۰۲۱ انجام شده، بیانگر کاهش منابع آب‌های سطحی در تمامی حوضه‌های آبریز اصلی ایران، به جز حوضه خلیج فارس است. دنگ<sup>۳</sup> و همکاران (۲۰۱۹) نیز روند تغییرات مساحت پیکره‌های آبی در حوضه آبریز یانگتسه<sup>۴</sup> در چین را با استفاده از ۷۵۵۹۳ تصویر لندست، بررسی کردند.

مروری بر پژوهش‌های گذشته نشان می‌دهد تا کنون مطالعه‌ای جامع، برای بررسی روند تغییرات پارامترهای مؤثر در منابع آب‌های سطحی و زیرزمینی حوضه آبریز مرکزی ایران، با استفاده از محصولات ماهواره‌ای، انجام نشده است و بیشتر مطالعات صرفاً یک یا چند محصول محدود ماهواره‌ای در مناطق محدودی از پهنهٔ چهارپایی ایران را دریافت و پردازش و تفسیر کرده‌اند. از این‌رو و با توجه به اهمیت موضوع، هدف این پژوهش بررسی و تحلیل روند تغییرات مساحت پیکره‌های آبی و منابع آب زیرزمینی حوضه آبریز فلات مرکزی ایران، با مساحت تقریباً ۵۰٪ از کشور، با استفاده از شائزه نوع داده و محصولات ماهواره‌ای دردسترس است.

## ۲- مواد و روش‌ها

### ۲-۱- منطقهٔ مورد مطالعه

ایران با وسعت بیش از ۱/۶ میلیون کیلومترمربع، دارای شش حوضه آبریز اصلی یا درجه یک است و این حوضه‌ها به سی حوضه درجه دو تقسیم می‌شوند.

- 
- 1. Pouyan
  - 2. Taheri Dehkordi
  - 3. Deng
  - 4. Yangtze River Basin

Climatology Research Institute, 2016; Ebrahimi Khusfi et al., 2016; Research Center of the Islamic Council, 2016 نگران‌کننده ضرورت و اهمیت توجه به پایش منابع محدود آبی موجود و برنامه‌ریزی برای هدایت صحیح و بهینه آنها به بخش‌های مصرف‌کننده کشاورزی، صنعت و شرب را نشان می‌دهد.

حوضه آبریز فلات مرکزی، با مساحت تقریباً ۸۲۴ هزار کیلومترمربع، بیشتر مساحت ایران را زیر پوشش دارد. این حوضه شامل دامنه‌های جنوبی البرز، دامنه‌های شرقی زاگرس و دشت‌های لوت و کویر می‌شود و بین عرض جغرافیایی ۲۶/۵ درجه شمالی تا ۳۸ درجه شمالی و طول جغرافیایی ۴۸ درجه شرقی تا ۶۱/۵ درجه شرقی واقع شده است. در حوضه آبریز فلات مرکزی، ۴۵۶ شهر با جمعیت بالغ بر ۳۰ میلیون نفر، معادل ۵۰٪ جمعیت شهری کشور و بیش از ۶۰۹ دشت مطالعاتی کشور نیز در این حوضه واقع شده است که از این تعداد، ۱۸۹ دشت وضعیت منوع و یا Center for Development and Foresight Research, 2021 ممنوع بحرانی دارند (). برداشت بی‌رویه از منابع آب زیرزمینی و سطحی باعث تشديد فرونخشست و افزایش مساحت کانون‌های تولید گردوغبار در این منطقه‌ها می‌شود و جمعیتی حدود ۳۶ میلیون نفر را تحت تأثیر قرار می‌دهد.

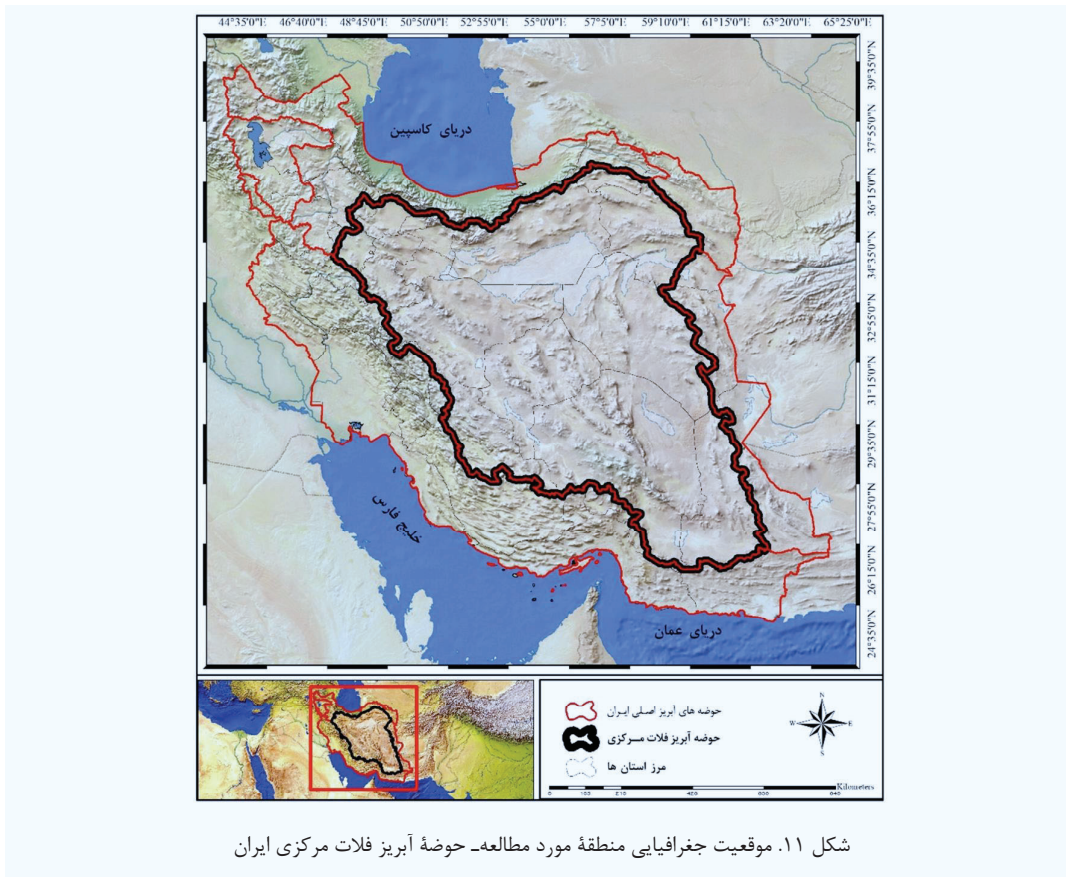
استفاده از سری زمانی تصاویر ماهواره‌ای، در مقیاس‌های مکانی وسیع، نیازمند ابزارهای ذخیره‌سازی، نمایش و پردازش قدرتمند است. گوگل ارث انجین سامانه‌ای آنلاین برای دسترسی به محصولات و داده‌های گوناگون ماهواره‌ای و همچنین پردازش آنهاست. استفاده از این سامانه، با هدف پایش و مدیریت منابع آب، مورد توجه فراینده محققان و پژوهشگران گوناگون قرار گرفته است. بررسی روند تغییرات زمانی- مکانی خشکسالی در ایران، با استفاده از شاخص‌های خشکسالی و داده‌های ماهواره‌ای لندست

اقليمي، بهدليل تأثيرگذاري در حوزه‌های اقتصادي و اجتماعي و سياسي، لزوماً به شهرهای حوضه آبريز مرکزي محدود نمی‌شود بلکه، فراتر از مرزهای جغرافيايی آن و در مقیاس بزرگ‌تر، چهباً امنيت این شهرها را تحت تأثير قرار دهد (Afzali et al., 2020). بنابراین، در این پژوهش، حوضه آبريز فلات مرکزي ايران به منزله منطقه مورد مطالعه انتخاب شد که موقعیت جغرافيايی آن در شکل ۱ نشان داده شده است.

## ۲-۲-داده‌های مورد استفاده

برای انجام دادن پژوهش حاضر، از محصولات ماهواره‌ای دردسترس در سامانه گوگل ارث انجین، طی بازه زمانی سال‌های ۲۰۰۰ تا ۲۰۲۲ استفاده شده است. با توجه به اهمیت پایه زمانی مشترک، برای پردازش و تحلیل تتابع، بازه زمانی ۲۰۰۲ تا ۲۰۱۹ انتخاب شد و تمامی محصولات ماهواره‌ای مورد استفاده (جدول ۱)، در این بازه،

در این بین حوضه آبريز فلات مرکزي بهدليل اقليم خشك و بارندگي بسيار كمتر از ميانگين كشور، دربرابر کاهش منابع آب دردسترس، آسيب‌پذيرتر از ديگر حوضه‌های كشور است. برخی پژوهشگران، با تبيين پيامدهای امنيتی تغيير اقليم در حوضه آبريز مرکزي ايران، به اين نتيجه رسيدند که در صورت تداوم وضعیت فعلی، پيامدهای تغيير اقليم در حوضه آبريز مرکزي ثبات و امنيت ملي را دچار مشکلاتي خواهد کرد (Kavianirad et al., 2017) جغرافياي ايران، زنجيره‌اي از پيامدها مانند تغيير الگوي بارش، کاهش كيفيت آبهای زيرزميني و ايجاد تسهیات اجتماعي و امنيتی را به همراه دارد و در ابعاد گوناگون، در زیست جامعه و كشور اثر می‌گذارد؛ به گونه‌ای که در صورت تداوم روند فعلی، تمدن ايراني دچار چالش راهبردي خواهد شد (Karami, 2021). ظرفیت بحران‌زایی پيامدهای امنيتی ناشی از بحران‌های



شکل ۱۱. موقعیت جغرافيايی منطقه مورد مطالعه- حوضه آبريز فلات مرکزی ايران

## محسن ابراهیمی خوسفی و زهره ابراهیمی خوسفی

جدول ۱. داده‌ها و محصولات ماهواره‌ای مورد استفاده در تحقیق (دربافت و پردازش تمامی داده‌ها روی سامانه گوگل ارث انجین انجام شده است)

پارامتر	محصولات ماهواره‌ای	پارامتر	محصولات ماهواره‌ای
آب زیرزمینی	TerraClimate	دماهی حداکثر و حداکثر	GRACE
بارش	TerraClimate	رطوبت خاک	GPM, CHIRPS, TRMM, Idaho_Precipitation
دماهی سطح زمین	TerraClimate	رواناب	MODIS (MOD11A2)
پوشش گیاهی	TerraClimate	تابش ورودی طول موج کوتاه	MODIS NDVI (MOD13A1)
تبخیر و تعرق واقعی و پتانسیل	MODIS (MCD12Q1)	مساحت پیکره‌های آبی	TerraClimate
خشکسالی (پالمر)			TerraClimate

### ماهواره GRACE

این ماهواره ناهنجاری‌های گرانشی ماهیانه را در قیاس با خط پایه میانگین زمانی ۲۰۱۰-۲۰۰۴ ارائه می‌دهد. داده‌های این مجموعه داده واحدهای «ضخامت آب معادل»<sup>۳</sup> هستند که انحرافات جرم را با توجه به تغییرات عمودی آب بر حسب سانتی‌متر، نشان می‌دهند. این محصول را سه مرکز گوناگون تولید می‌کنند. در این پژوهش، از میانگین داده‌های مرکز تحقیقات فضایی تگزاس (CSR)<sup>۴</sup> و آزمایشگاه پیشرانه جت ناسا (JPL)<sup>۵</sup> استفاده شده است. این مراکز بخشی از سامانه زمینی GRACE هستند و محصولات سطح ۲ را در مقیاس زمانی ماهیانه و با قدرت تفکیک مکانی Chambers, 2006؛ ۱۱۱۳۲۰ متر تولید می‌کنند (Landerer & Swenson, 2012; Swenson, 2012).

**محصولات ماهیانه TerraClimate دانشگاه آیدaho**  
محصولات TerraClimate مجموعه داده‌ای اقلیمی و آب‌وهوایی از سطح زمین در مقیاس جهانی است که با ترکیب و درون‌یابی، از محصولات جهانی با قدرت تفکیک مکانی بالای WorldClim و محصول دارای

برای منطقه مورد مطالعه در دسترس بودند. سامانه گوگل ارث انجین مجموعه‌ای چندپایابیتی از تصاویر و محصولات ماهواره‌ای و داده‌های مکانی را به رایگان در اختیار کاربران گوناگون قرار می‌دهد. این سامانه قابلیت پردازش‌ها و محاسبات گوناگون روی داده‌ها را نیز به زبان‌های برنامه‌نویسی پایتون و جاوا‌اسکریپت، بدون نیاز به دانلود فراهم کرده است (Tamiminia et al., 2020).

### بارش ماهیانه (GPM)

محصول GPM<sup>۱</sup> مأموریتی ماهواره‌ای برای فراهم کردن داده‌های سه ساعته، روزانه و ماهیانه بارش و برف در سرتاسر جهان است. الگوریتم IMERG<sup>۲</sup> مورد استفاده، برای تولید محصول بارش، از داده‌های تمامی سنجنده‌های فعال و غیرفعال در مجموعه GPM استفاده می‌کند. این الگوریتم با هدف کالیبره کردن، ادغام و درون‌یابی برآوردهای ابزارهای گوناگونی همچون سنجنده‌های مایکروویو، سنجنده‌های مادون قرمز، باران سنج‌ها و سایر برآوردهای بارش به کار می‌رود. این الگوریتم چندین بار اجرا می‌شود؛ به نحوی که ابتدا برآورده اولیه از بارش به دست می‌دهد و سپس، با درنظر گرفتن سایر منابع و داده‌ها، برآوردهای خود را تدقیق می‌کند و محصول بارش را در مقیاس ماهیانه، بر حسب میلی‌متر بر ساعت، با قدرت تفکیک مکانی ۱۱۱۳۲ متر در اختیار کاربران قرار می‌دهد (Huffman et al., 2019).

- 
1. Global Precipitation Measurement (GPM) v6
  2. Integrated Multi-satellite Retrievals for GPM
  3. Equivalent Water Thickness
  4. U. Texas / Center for Space Research
  5. Jet Propulsion Laboratory

### نوع پوشش زمین<sup>۱</sup> سنجنده مادیس ترکیبی ماهواره ای (MCD12Q1) ترا و آکوا<sup>۲</sup>

محصول نوع پوشش سطح زمین در بازه زمانی سالیانه و براساس روش های طبقه بندی متفاوت نظارت شده، با قدرت تفکیک مکانی پانصد متر، از داده های سنجنده مادیس دو ماهواره ای ترا و آکوا<sup>۱۱</sup> تولید می شود. در این تحقیق، کلاس پوشش زمین «پیکره های آبی»<sup>۱۲</sup>، برای بررسی روند تغییرات سالیانه مساحت پیکره های آبی در منطقه مورد مطالعه، استفاده شد ( Friedl & .(al., 2010).

### ۳- روش کار

نمودار فرایندی روش کار، برای این پژوهش، در شکل ۲ نشان داده شده است. در گام نخست، پارامترهای اقلیمی و محیطی که در بخش پیشین بیان شد، در بازه زمانی سال های ۲۰۰۰ تا ۲۰۲۲ از سامانه گوگل ارث انجین به صورت ماهیانه دریافت شد. سپس با توجه به تفاوت بازه زمانی محصولات گوناگون ماهواره ای، سال های ۲۰۰۲ تا ۲۰۱۹ به منزله بازه زمانی مشترک انتخاب شد و تمامی داده های ماهیانه به داده های متوسط سالیانه تبدیل شدند. با توجه به تفاوت قدرت تفکیک مکانی محصولات گوناگون ماهواره ای و تلفیق نشدن آنها در فرایند این تحقیق، ابعاد پیکسل ها همسان سازی نشد و ابعاد پیکسل استاندارد محصول، برای محاسبه میانگین ماهیانه و یا سالیانه آن محصول در کل منطقه مورد مطالعه، در نظر گرفته شد.

1. Climatic Research Unit
2. Japanese 55-Year Reanalysis
3. Actual Evapotranspiration
4. Reference Evapotranspiration (ASCE Penman-Montieth)
5. Downward Surface Shortwave Radiation
6. Enhanced Vegetation
7. Terra
8. Land Surface Temperature
9. Climate Hazards Group InfraRed Precipitation
10. Land Cover
11. Aqua
12. Water Bodies

قدرت تفکیک مکانی پایین اما زمانی بالای CRU<sup>۱</sup> و JRA55<sup>۲</sup> استفاده می کند. برخی محصولات مورد استفاده در این پژوهش، با قدرت تفکیک مکانی ۴۳۶۸ متر، عبارت اند از تبخیر و تعرق واقعی (AET)<sup>۳</sup>، تبخیر و تعرق مرجع (PET)<sup>۴</sup>، شاخص شدت خشکسالی پالم (Precipitation)، بارش (PDSI)، تابش ورودی طول موج کوتاه سطحی (Srad)<sup>۵</sup>، دمای حداقل، دمای حداکثر، رواناب و رطوبت خاک ( Vicente-Serrano et al., 2010).

### شاخص های گیاهی سنجنده مادیس ماهواره ای ترا (MOD13A1)

محصول MOD13A1 مقادیر دو شاخص گیاهی NDVI<sup>۶</sup> و EVI<sup>۷</sup> را با قدرت تفکیک مکانی پانصد متر و در بازه های زمانی شانزده روزه در اختیار کاربران قرار می دهد. در واقع، ارزش هر پیکسل بیانگر میانگین شانزده روزه شاخص های گیاهی است (Didan, 2021).

### دمای سطحی زمین سنجنده مادیس ماهواره ای ترا<sup>۸</sup> (MOD11A2)

محصول MOD11A2 میانگین هشت روزه دمای سطحی زمین (LST)<sup>۹</sup> بر حسب کلوین را با قدرت تفکیک مکانی هزار متر، در اختیار پژوهشگران قرار می دهد. دلیل انتخاب بازه هشت روزه این است که دو برابر این بازه، یعنی طی شانزده روز، ماهواره دقیقاً در مسیر برداشت تکراری خود قرار می گیرد ( Wan et al., 2015).

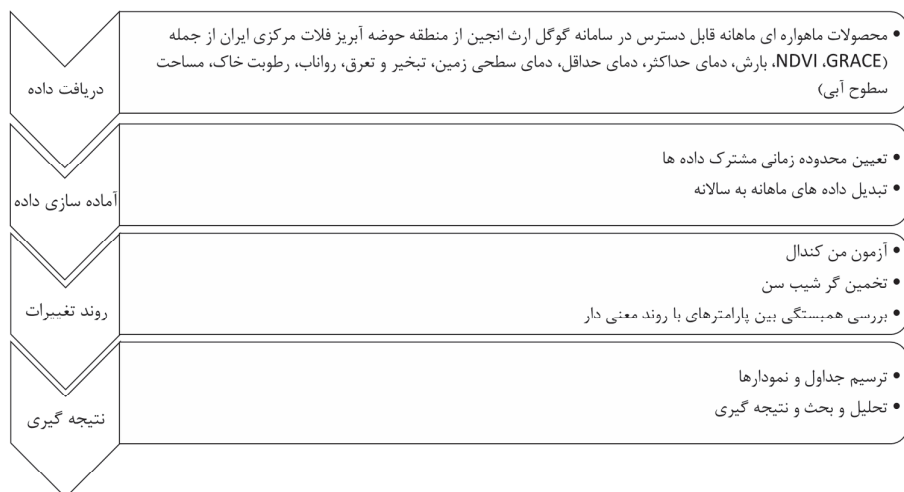
### بارش ماهیانه CHIRPS

محصول CHIRPS<sup>۱۰</sup> یک مجموعه داده بارش جهانی با قدرت تفکیک مکانی ۵۵۶۶ متر است که با تلفیق داده های مادون قرمز ماهواره ای و داده های ایستگاه های زمینی، در بازه زمانی ماهیانه، تولید می شود ( Funk et al., 2015).

در گام نهایی نیز، با توجه به نتایج، نمودارهای روند تغییرات پارامترهای دارای روند معنی‌دار ترسیم و تحلیل شد.

آزمون من-کندال برپایه رتبه داده‌ها در یک سری زمانی، بسط و توسعه یافته است و نخستین بار، من و Kendall، 1975؛ سپس کندال آن را مطرح کردند (Mann، 1945). چنان‌که اشاره شد، این آزمون روشی ناپارامتری و دارای مزایایی است که سبب شده، در تحلیل روند سری‌های هیدرولوژیکی و هواشناسی، Srivastava، گاربرد متداول و گسترده‌ای بیابد (Saran، 2017). در این آزمون، فرض صفر بیانگر تصادفی بودن و نبود روند در سری زمانی داده‌هاست و پذیرش فرض ۱ (رد فرض صفر) دلالت بر وجود روند در سری داده‌ها دارد. در روش من-کندال، فرض بر این است که یک سری زمانی به صورت  $x_1, x_2, \dots, x_n$  وجود دارد. آماره آزمون من-کندال با استفاده از رابطه (۱) محاسبه می‌شود؛ در این معادله،  $j$  و  $k$  مرتبه مشاهدات‌اند وتابع علامت ( $\text{sgn}(x)$  به صورت رابطه (۲) تعریف می‌شود.

در گام بعدی، با استفاده از آزمون من-کندال<sup>۱</sup>، روند تغییرات تمامی پارامترها در سطوح معنی‌داری متفاوتی بررسی شد. برای تعیین شیب تغییرات، تخمین‌گر شیب سن به کار رفت. بدلیل قرارگرفتن بخش بزرگی از ایران در اقلیم خشک و نیمه‌خشک و پیامدهای ناشی از خشکسالی، ارزیابی روند تغییرات خشکسالی اهمیت بسیار دارد. بدین‌منظور، روش‌های پارامتری و ناپارامتری متعددی، برای ارزیابی روند تغییرات متغیرهای هیدرواقلیم مطرح شده است. نیازنداشت به تبعیت از یک تابع توزیع خاص و داشتن حساسیت کمتر به مقادیر حدی از مزایایی روش ناپارامتری است. به همین دلیل، گستره استفاده از روش ناپارامتری در قیاس با پارامتری، در مطالعات ارزیابی تغییرات پارامترهای اقلیمی بیشتر است (Ghorbani et al., 2020; Hejazizadeh et al., 2014; Imani et al., 2021; Mazidi & Bahaaddinbeygi, 2021; Omidvar & Salari, 2013). آزمون‌های روند من-کندال، من-کندال اصلاح شده<sup>۲</sup>، سن<sup>۳</sup> و پتیت<sup>۴</sup> از روش‌های ناپارامتری دارای گاربرد گسترده در مطالعات بهشمار می‌روند (Ghorbani et al., 2020).



شکل ۱۲. فرایند انجام‌شدن پژوهش

1. Mann-Kendall
2. Modified Mann-Kendall
3. Sen's Slope
4. Pettite's Change Point

$$Q = \frac{X_t - X_s}{t - s}, i = 1, 2, \dots, N \quad (5)$$

در این معادله،  $X_t$  و  $X_s$  به ترتیب، داده در زمان‌های  $t > s$  هستند. مقدار مثبت شیب سن

بیانگر روند افزایشی و مقدار منفی آن نشان‌دهنده روند کاهشی است. برای انجام دادن آزمون من-کنдал و تخمین شیب سن، از کدهای نوشته شده در محیط نرم‌افزار اکسل و نیز راهنمای کاربری آن استفاده شد (Salmi, 2002).

در گام نهایی، برای بررسی همبستگی بین پارامترهایی که روند افزایشی یا کاهشی معنی‌داری را نشان دادند، نمودار ماتریسی همبستگی در محیط نرم‌افزار R تهیه شد. از این نوع نمودار ماتریسی، در مطالعات متعدد، برای نشان دادن ارتباط بین پارامترهای محیطی گوناگون استفاده شده است (Ebrahimi, Khusfi et al., 2022; Mostafazadeh & Zabihi, 2016; Zabihi et al., 2017).

$$S = \sum_{k=1}^{n-1} \sum_{j=k+1}^n \text{sgn}(x_j + x_k) \quad (1)$$

$$\text{sgn}(x) = \begin{cases} +1 & x > 0 \\ 0 & x = 0 \\ -1 & x < 0 \end{cases} \quad (2)$$

براساس این آزمون، در صورتی که مقدار  $S$  اختلاف معنی‌داری با صفر نداشته باشد، روند وجود ندارد و در غیر این صورت، روند صعودی یا نزولی خواهد بود. در آزمون معنی‌دار بودن روند، از متغیر  $Z$  نرمال استاندارد طبق رابطه (3) استفاده می‌شود. فرض صفر ( $H_0$ ) در آزمون من-کنдал بیانگر نبود روند و فرض  $H_1$  بیانگر وجود روند است (Salmi, 2002).

$$Z = \frac{S-1}{\sqrt{\text{var}(S)}} \quad \begin{cases} \text{if } S > 0 \\ 0 \quad \text{if } S = 0 \\ \frac{S+1}{\sqrt{\text{var}(S)}} \quad \text{if } S < 0 \end{cases} \quad (3)$$

$$\text{Var}(S) = \{n(n-1)(2n+5)\} \quad (4)$$

#### ۴- نتایج

نتایج حاصل از ارزیابی روند تغییرات پارامترهای گوناگون، با استفاده از آزمون من-کنдал و شیب سن، در جدول ۲ آمده است.

#### آزمون شیب سن

در این آزمون، شیب میانه برای سری زمانی محاسبه می‌شود و معنی‌داری شیب، در سطح اطمینان ۹۹٪، به دست می‌آید. شیب میانه بین داده‌ها طبق رابطه (5) محاسبه می‌شود.

جدول ۲. نتایج آزمون من-کنдал و تخمین‌گر شیب سن

متغیر (متوسط سالیانه)	توصیف	آزمون Z	سطح معنی‌داری	روند	شیب سن Q	تخمین‌گر شیب سن		
						شیب حداقل	شیب حد اکثر	با سطح اطمینان ۹۹٪ (Qmax99)
GRACE (cm)	تغییرات آب زیرزمینی	-5.38	***	کاهشی معنی‌دار	-1/244	-1/496	-1/107	
NDVI	شاخص پوشش گیاهی	2/3	**	افزایشی معنی‌دار	0/0003	0/0001	0/0007	
GPM (mm/hr)	بارش	-0.95		کاهشی	0/000	-0/001	0/000	
LST (K)	دماهی سطحی زمین	1/44		افزایشی	0/040	-0/055	0/151	
CHIRPS (mm)	بارش	-0/23		کاهشی	-0/552	-4/933	3/959	
TRMM (mm/hr)	بارش	-0/91		کاهشی	-0/002	-0/008	0/005	
<i>Idaho_precipitation</i> (mm)	بارش	0/00		بدون روند	-0/086	-3/747	5/871	
<i>Idaho_aet</i> (kg/m2)	تبخیر و تعرق واقعی	0/00		بدون روند	-0/004	-2/912	4/863	

ادامه جدول ۲

متغیر (متوسط سالیانه)	توصیف	آزمون من-کنдал				تخمین‌گر شبیه سن		
		Z آزمون	سطح معنی‌داری	رونده	شبیه سن Q	شبیه حداقل با سطح اطمینان ۹۹٪ (Qmin99)	شبیه حداقل با سطح اطمینان ۹۹٪ (Qmax99)	
<i>Idaho_PDSI</i>	شاخص شدت خشکسالی پالمر	-۰/۴۵		کاهشی	-۰/۰۲۶	-۰/۱۵۷	+/۱۶۱	
<i>idaho_PET (mm)</i>	تبخیر و تعرق پتانسیل	۱/۸۲	+	افزایشی معنی‌دار	۳/۲۳۹	-۱/۸۶۷	۸/۳۴۸	
<i>idaho_Runoff(mm)</i>	رواناب	-۰/۳۸		کاهشی	-۰/۰۷۳	-۰/۵۵۴	+/۷۰۸	
<i>idaho_SM(mm)</i>	رطوبت خاک	-۲/۲۷	*	کاهشی معنی‌دار	-۰/۰۹۰۸	-۱/۹۷۳	+/۱۰۷	
<i>idaho_Srad(w/m2)</i>	تابش خالص ورودی طول موج کوتاه	-۰/۶۸		کاهشی	-۰/۰۶۵	-۰/۴۳۵	+/۲۳۱	
<i>idaho_tmax(C)</i>	دماهی حداقل	۱/۶۷	+	افزایشی معنی‌دار	۰/۰۴۳	-۰/۰۲۸	+/۱۲۰	
<i>idaho_tmin(C)</i>	دماهی حداقل	۲/۹۵	**	افزایشی معنی‌دار	۰/۰۷۹	+۰/۲۳	+/۱۴۳	
<i>water_bodies (ha)</i>	مساحت سطوح آبی	-۰/۱۸۹	+	کاهشی معنی‌دار	-۳۹۷۲/۷۷۲	-۶۴۶۶/۴۹۰	۷۲۸/۵۶۹	

$a = +/۰/۰۰۱$  \* سطح معنی‌داری  $a = +/۰/۰۵$  + سطح معنی‌داری  $a = +/۰/۰۱$  \*\* سطح معنی‌داری \*\*\* سطح معنی‌داری

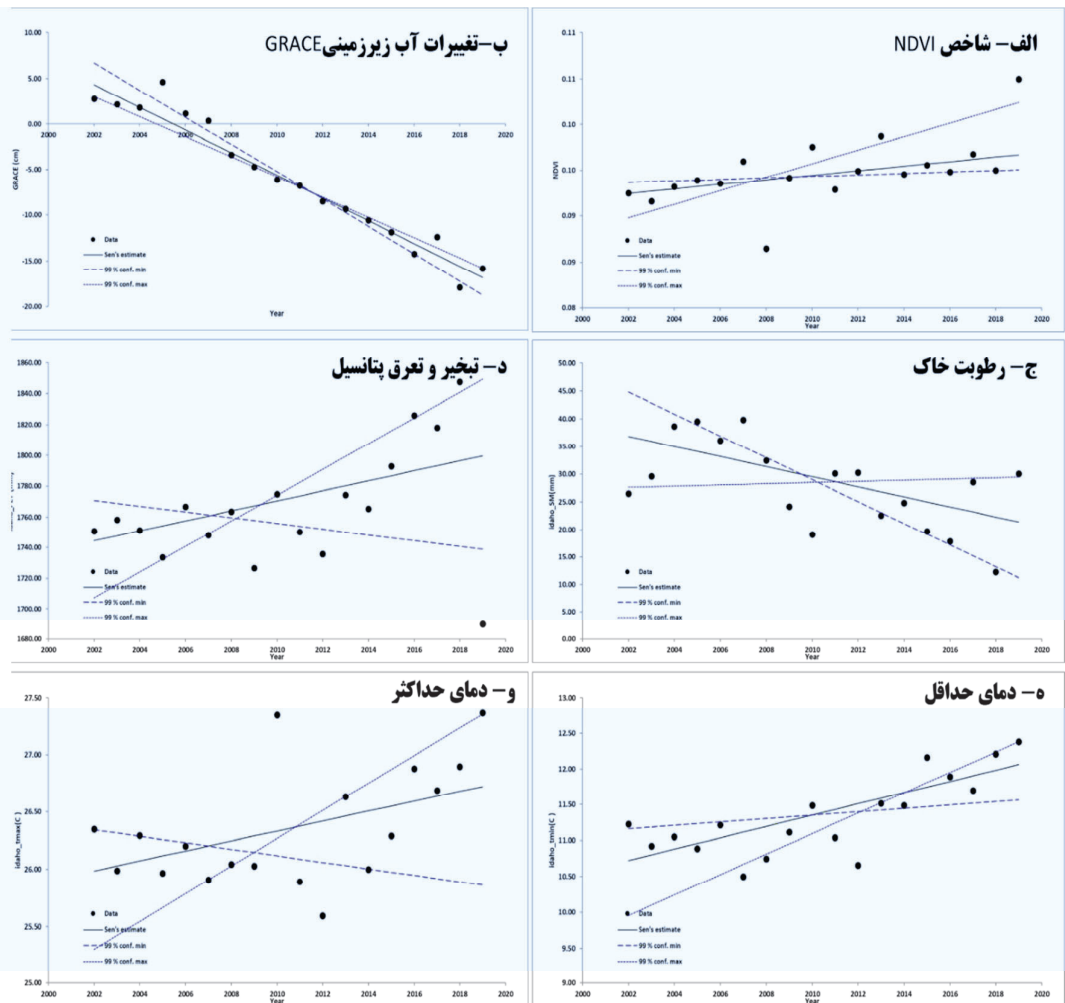
ایران، از سال ۲۰۰۲ تا ۲۰۱۹ است. با توجه به اینکه خط مبنای تغییرات سطح آب میانگین سال‌های ۲۰۰۲ تا ۲۰۱۰ است، مقدارهای مثبت سال‌های ۲۰۰۷ تا ۲۰۰۷، در این نمودار، بالاترین سطح آب‌های زیرزمینی در این سال‌ها را در مقایسه با خط مبتنا نشان می‌دهد و این روند همواره کاهشی بوده است. شکل ۳-ج به مقادیر رطوبت خاک اشاره می‌کند. بیشترین مقدار در سال ۲۰۰۷ و کمترین مقدار در سال ۲۰۱۸ ثبت شده است. روند کلی تغییرات رطوبت خاک کاهشی است. در شکل ۳-د، میزان تبخیر و تعرق سالیانه منطقه فلات مرکزی ایران نشان داده شده است. طبق این نمودار، روند کلی افزایشی است و این روند، از سال ۲۰۱۲ تا ۲۰۱۹ با شبیه بیشترین افزایش یافته است. کمترین مقدار در سال ۲۰۰۹ و بیشترین مقدار در سال ۲۰۱۹ رخ داده است. شکل‌های ۳-۵ و شکل ۳-۶ و نیز به روند تغییرات سالیانه متوسط حداقل و حداقل دمای سالیانه اشاره دارند. در سال‌های ۲۰۱۰ و ۲۰۱۹، بیشترین مقدار دمای حداقل نیز در سال ۲۰۱۹ به ثبت رسیده است.

با توجه به جدول ۲ و نتایج، تغییرات گرانش زمین که بیانگر سطح آب زیرزمینی است (محصول GRACE) و همچنین مساحت سطح آبی (محصول ماهواره مادیس) که بیانگر مساحت پیکره‌های آبی است و رطوبت خاک، روندی کاهشی و معنی‌دار در سطوح گوناگون را نشان می‌دهد. از سویی، دمای حداقل و دمای حداقل و تبخیر و تعرق پتانسیل (محصول دانشگاه آیداهو) و شاخص NDVI که بیانگر درصد پوشش گیاهی در منطقه فلات مرکزی است، دارای روند افزایشی معنی‌دارند. در ادامه، روند تغییرات محصولات یادشده به صورت نموداری آورده شده است. سایر محصولات ماهواره‌ای به کاررفته در این پژوهش دارای روند افزایشی، کاهشی یا خنثی غیرمعنی‌دارند. در شکل ۳-الف، روند تغییرات شاخص پوشش گیاهی NDVI نشان داده شده است. با توجه به این نمودار، حداقل مقدار NDVI در سال ۲۰۱۹ و حداقل مقدار آن در سال ۲۰۰۸ اتفاق افتاده است. اگرچه مقدار این شاخص، در طول بازه زمانی مورد مطالعه نوسان داشته، روند کلی آن افزایشی است. شکل ۳-ب بیانگر روند کاهشی ذخایر آب در منطقه فلات مرکزی

## تحلیل روند تغییرات منابع آب و عوامل مؤثر در آن ...

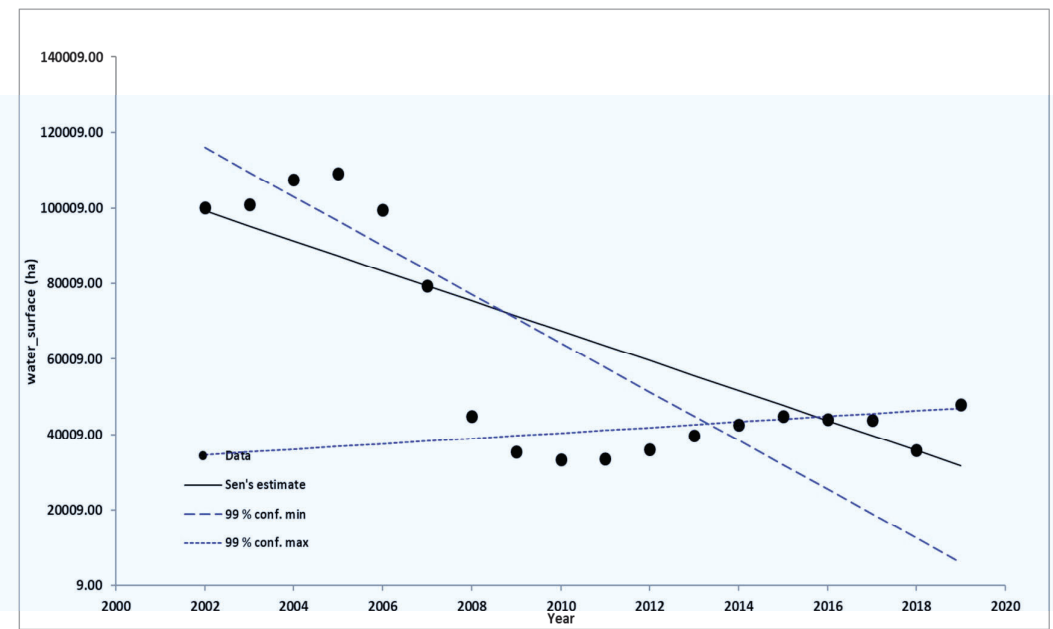
در شکل‌های ۵ و ۶، ضریب همبستگی بین پارامترهایی مشخص شده است که دارای روند افزایشی یا کاهشی معنی‌دارند.

شکل ۴ روند تغییرات مساحت پیکره‌های آبی بر حسب هکتار را نشان می‌دهد. بیشترین مساحت در سال ۲۰۰۵ و کمترین آن در سال ۲۰۱۸ به ثبت رسیده و بیشترین شبکه کاهشی بین سال‌های ۲۰۰۵ تا ۲۰۰۸ رخ داده است.

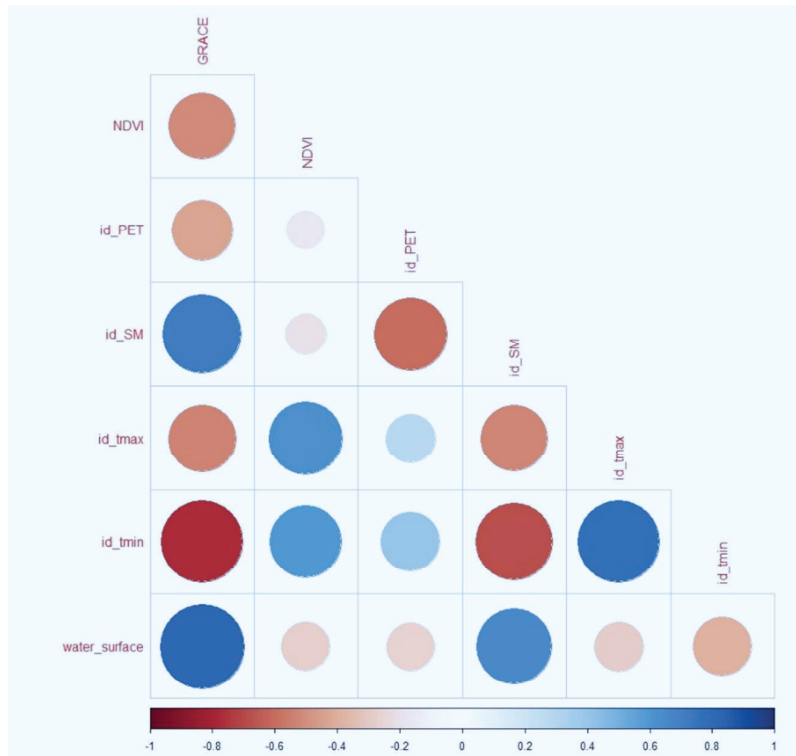


شکل ۱۳. روند تغییرات سالیانه پارامترهای دارای روند افزایشی یا کاهشی معنی‌دار؛ شامل شاخص NDVI، محصول GRACE، رطوبت خاک، تبخیر و تعرق پتانسیل، دماهی حداقل و دماهی حداکثر

## محسن ابراهیمی خوسفی و زهره ابراهیمی خوسفی

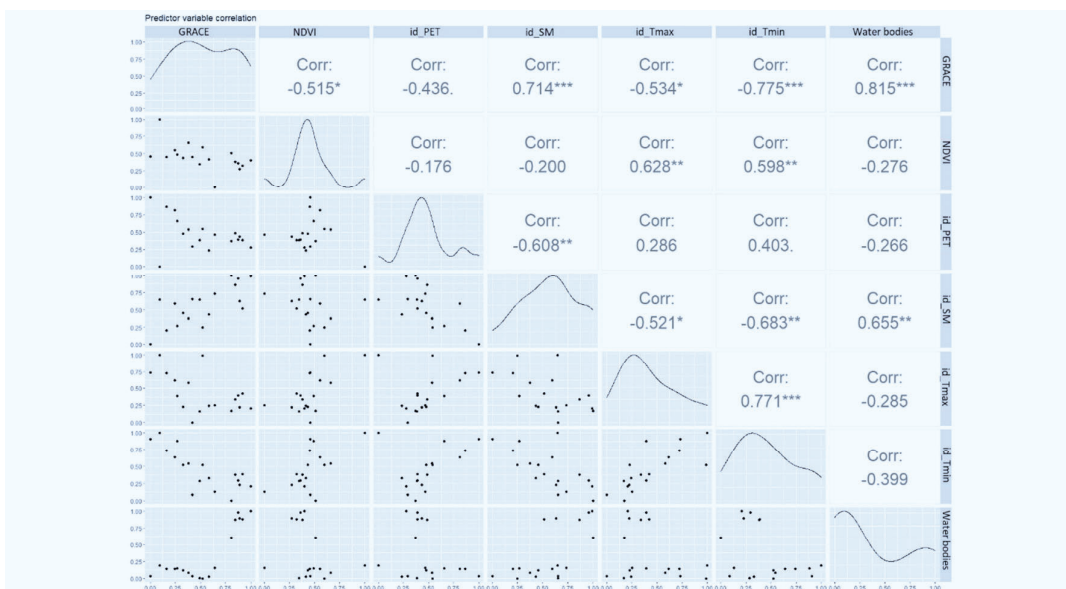


شکل ۱۴. روند تغییرات سالیانه مساحت پیکره‌های آبی (روند خطی برمبانی آزمون من-کنдал ترسیم شده است)



شکل ۱۵. ضریب همبستگی بین پارامترهای دارای روند معنی‌دار که در این پژوهش به کار رفته‌اند (id مخفف دانشگاه آیداهو است)

## تحلیل روند تغییرات منابع آب و عوامل مؤثر در آن ...



شکل ۱۶. ضریب همبستگی بین پارامترهای دارای روند معنی دار و نمودار تغییرات این دادهها (نمودارهای خطی بیانگر تغییرات سالیانه هر پارامتر و نمودارهای نقطه‌ای ScatterPlot بین جفت پارامترهای) (α = ۰/۰۵ \* سطح معنی داری ۱ α = ۰/۰۰۱ \*\* سطح معنی داری ۰/۰۰۱ \*\*\* سطح معنی داری ۰/۰۰۰۱)

**۵- بحث و نتیجه‌گیری**  
 پایش و اندازه‌گیری وضعیت منابع آب، به صورت مداوم، به تصمیم‌گیران و سیاست‌گذاران در پیشگیری از وقوع بحران و مدیریت آن کمک شایانی می‌کند. دانش سنجش از دور و دسترسی به داده‌ها و محصولات متنوع ماهواره‌ای دارای قدرت تفکیک مکانی و زمانی گوناگون این ابزار را در اختیار تصمیم‌سازان قرار می‌دهد تا بتوانند از وضعیت منابع آب در هر زمان آگاهی یابند و از وقوع بحران پیشگیری کنند. ماهواره GRACE که محصولات آن از سال ۲۰۰۲ در اختیار کاربران قرار گرفته است، می‌تواند بیانگر وضعیت تغییرات منابع آب زیرزمینی باشد. همچنین استفاده از تصاویر ماهواره‌ای چندطیفی سنجنده‌هایی مانند لندست، سنتیتل و مادیس، امکان تعیین مساحت سطوح و پهنه‌های آبی را به صورت سری زمانی، فراهم آورده است. با توجه به اهمیت موضوع وجود محصولات ماهواره‌ای متعدد، در این پژوهش، روند تغییرات منابع آب سطحی و زیرزمینی و همچنین پارامترهای محیطی تأثیرگذار در

همان‌گونه که مشاهده می‌شود، همبستگی معنی دار مشبtı بین GRACE (بهمنزله نشانگری برای منابع آب زیرزمینی) و، رطوبت خاک (id\_SM)، دمای حداکثر (id\_tmax) و دمای حداقل (id\_tmin) وجود دارد که بدین صورت است:

- \* افزایش شاخص NDVI باعث کاهش مقدار GRACE با ضریب همبستگی ۰/۵۱۵- و سطح معنی داری ۰/۹۵ می‌شود؛

- \* رطوبت خاک و GRACE با ضریب همبستگی ۰/۷۱۴ و سطح معنی داری ۰/۹۹۹ رابطه‌ای مستقیم دارند؛
- \* دمای حداقل و دمای حداکثر رابطه معمکوس معنی داری با GRACE و با ضریب همبستگی دارد که به ترتیب معادل ۰/۷۷۵ و -۰/۵۳۴ است.

بررسی ضریب همبستگی بین مساحت سطوح آبی (water\_surface) و پارامترهای گوناگون نیز نشان می‌دهد این پارامتر با GRACE (ضریب همبستگی ۰/۸۱۵ و سطح معنی داری ۰/۹۹۹) و رطوبت خاک (ضریب همبستگی ۰/۶۵۵ و سطح معنی داری ۰/۹۹) رابطه‌ای مستقیم دارد.

مظفری<sup>۱</sup> و همکاران (۲۰۲۱) هم خوانی دارد. این محققان تغییرات زمانی و مکانی خشکسالی ایران را تحت سناریوهای تغییر اقلیم، با استفاده از شاخص SPI بررسی کردند و نقشه‌های پهنه‌بندی SPI افزایش خشکسالی‌ها در بخش اعظم کشور را نشان دادند. قربانی<sup>۲</sup> و همکاران (۲۰۲۰)، در پژوهش خود، روند تغییرات زمانی-مکانی شاخص دومتغیره خشکسالی هواشناسی SPEI در ایران را بررسی کردند. نتایج این پژوهش نشان می‌دهد، درمجموع، تغییرات اقلیمی در ایران رخ داده و ایران، در سال‌های اخیر، به‌سمت دوره‌های خشکتر متغیر شده است.

بررسی ضریب همبستگی بین مساحت پیکره‌های آبی و پارامترهای گوناگون نیز نشان داد که این پارامتر با GRACE و رطوبت خاک رابطه‌ای مستقیم دارد؛ یعنی هرچه میزان منابع آب سطحی بیشتر باشد، میزان برداشت از آبهای زیرزمینی و درنتیجه، میزان افت این آبهای کاهش می‌یابد و مقادیر ثبت‌شده از طریق ماهواره GRACE نیز افزایش خواهد یافت. افزایش رطوبت خاک نیز نشانه تراسالی است و میزان نفوذ رواناب به داخل زمین را کاهش می‌دهد که این وضعیت می‌تواند به افزایش مساحت پهنه‌های آبی منجر شود.

سیاست‌های کلان کشور در زمینه تأمین امنیت غذایی و نیز افزایش جمعیت کشور در دو دهه گذشته و به‌تبع آن، افزایش نیاز به غذا باعث افزایش سطح زیرکشت محصولات کشاورزی در فلات مرکزی ایران شده است. افزایش معنی دار روند شاخص NDVI را نیز می‌توان در همین راستا تفسیر کرد. از طرفی، تغییرات اقلیمی و کاهش بارش و افزایش دما و تبخیر و تعرق در فلات مرکزی باعث کاهش منابع آب دردسترس در این مناطق شده است. روند افزایشی دمای حداقل، دمای حداکثر و تبخیر و تعرق در این پژوهش نیز معنی دار می‌باشد. بنابراین می‌توان نتیجه گرفت، با تغییرات

منابع آب مطالعه شد. بدین‌منظور، با استفاده از سامانه گوگل ارث انجین، شانزده محصول متفاوت ماهواره‌ای شامل پارامترهای محیطی گوناگون مانند بارش، دما، تبخیر و تعرق، رطوبت خاک، رواناب، گرانش (GRACE)، شاخص پوشش گیاهی و مساحت سطوح آبی در بازه زمانی سال‌های ۲۰۰۰ تا ۲۰۲۲، دریافت و آماده‌سازی شد. سپس با استفاده از آزمون ناپارامتریک من-کندال و تخمین گر شبیه سن، روند تغییرات این پارامترها مورد بررسی قرار گرفت. با توجه به نتایج، تغییرات گرانش زمین که بیانگر سطح آب زیرزمینی است و نیز مساحت پیکره‌های آبی که منابع آب سطحی را نشان می‌دهد و رطوبت خاک، حاکی از روندی کاهشی و معنی دار بود. ازویی، دمای حداکثر، دمای حداقل و تبخیر و تعرق پتانسیل و شاخص NDVI دارای روند افزایشی معنی دار بود.

نتایج بررسی میزان همبستگی بین پارامترهای GRACE دارای روند معنی دار نیز نشان می‌دهد بین (به منزله نشانگری برای منابع آب زیرزمینی) و NDVI رطوبت خاک، دمای حداکثر و دمای حداقل همبستگی معنی دار مثبتی وجود دارد. افزایش شاخص NDVI باعث کاهش مقادیر GRACE می‌شود. بدیهی است که افزایش سطح پوشش گیاهی، به‌ویژه محصولات کشاورزی، در شرایطی که روند منابع آب سطحی کاهشی است (شکل ۴)، فشار بر برداشت منابع آب زیرزمینی را افزایش می‌دهد و باعث شدیدشدن کاهش سطح آب زیرزمینی می‌شود. دمای حداکثر نیز رابطه معکوس معنی داری با GRACE دارد. افزایش دما می‌تواند باعث افزایش تبخیر و تعرق و به‌تبع آن، کاهش سطح آب‌های زیرزمینی شود. افزون‌برانه نتایج به وجود رابطه مستقیم میان رطوبت خاک و GRACE اشاره می‌کند. درواقع، هرچه میزان رطوبت خاک بیشتر باشد، نشان واضح‌تری از تراسالی و افزایش سطح منابع آب زیرزمینی است. نتایج، در زمینه تغییرات اقلیمی و افزایش روند خشکسالی در کشور، با نتایج پژوهش

1. Mozafari  
2. Ghorbani

- Water Resources Using Gravimetry Satellite Data**, Journal of Geomatics Science and Technology., 5, PP. 73-84.  
[https://www.sid.ir/fa/VEWSSID/J\\_pdf/7002413950407.pdf](https://www.sid.ir/fa/VEWSSID/J_pdf/7002413950407.pdf)
- Center for Development and Foresight Research, 2021, **Studies of the National Spatial Planning Document (Water Report and Consolidated Report of Studies)**, In: Tehran: Center for Development and Foresight Research, Plan and Budget Organization.
- Chambers, D.P., 2006, **Evaluation of New GRACE Time-Variable Gravity Data over the Ocean**, Geophysical Research Letters, 33.  
<https://doi.org/10.1029/2006GL027296>
- Climatology Research Institute, 2016, **Revealing, Evaluating the Effects and Prospects of Climate Change in Iran during the 21st Century**, In: Iran Meteorological Organization.
- Dalin, C., Wada, Y., Kastner, T. & Puma, M.J., 2017, **Groundwater Depletion Embedded in International Food Trade**, Nature, 543, PP. 700-704.  
<https://doi.org/10.1038/nature21403>
- Deng, Y., Jiang, W., Tang, Z., Ling, Z. & Wu, Z., 2019, **Long-Term Changes of Open-Surface Water Bodies in the Yangtze River Basin Based on the Google Earth Engine Cloud Platform**, Remote Sensing, 11, P. 2213.  
<https://doi.org/10.3390/rs11192213>
- Didan, K., 2021, **MODIS/Terra Vegetation Indices 16-Day L3 Global 500m SIN Grid V061 [Data set]**, NASA EOSDIS Land Processes DAAC.  
[https://doi.org/10.5067/MODIS/MOD13Q1.061; 2021](https://doi.org/10.5067/MODIS/MOD13Q1.061)
- Ebrahimi Khusfi, M., Rahmatnia, A. & Sameni, A., 2016, **Water Crisis and the Feasibility of Connecting the Northern and Southern Water Regions of Iran**, In: Development and Foresight Research Center, Plan and Budget Organization.
- Ebrahimi Khusfi, Z., Nafarzadegan, A.R., Kazemi, M. & Ebrahimi Khusfi, M., 2022, **Influential Environmental Drivers on Air Pollution in Dust-Sensitive Regions of**

اقليمی صورت گرفته، منابع آب سطحی در دسترس کاهش یافته است که این مهم با معنی داری روند کاهشی بارش، مساحت پیکره‌های آبی و رطوبت خاک مورد تایید قرار می‌گیرد. از طرفی، افزایش سطح زیرکشت (افزایش NDVI) به منابع آب نیاز داشته که این نیاز، با برداشت‌های بی‌رویه و بیش از ظرفیت تجدیدپذیر سالیانه از منابع آب زیرزمینی، رفع شده و نتیجه آن کاهش و افت سطح آب‌های زیرزمینی بوده است. این کاهش سطح نیز با معنی داری روند کاهشی محصول ماهواره GRACE تأیید می‌شود. روند کاهشی مساحت پیکره‌های آبی در ایران با مطالعات طاهری دهکردی و همکاران (۲۰۲۲) هم‌خوانی دارد. این پژوهشگران، با بررسی روند تغییرات زمانی-مکانی آب‌های سطحی ایران از طریق تصاویر ماهواره‌ای لندست در بازه زمانی سال‌های ۱۹۹۰ تا ۲۰۲۱، به این نتیجه رسیدند که منابع آب‌های سطحی در تمامی حوضه‌های آبریز اصلی ایران، به جز حوضه آبریز خلیج فارس، روند کاهشی دارد. با توجه به وسعت کشور ایران و دسترسی سخت به داده‌ها و آمار و اطلاعات زمینی، پیشنهاد می‌شود روند تغییرات مساحت پیکره‌های آبی و منابع آب زیرزمینی، در سایر حوضه‌های آبریز اصلی کشور، نیز مطالعه و بررسی شود و در مناطقی که امکان بیشتری برای دسترسی به آمار و اطلاعات زمینی وجود دارد، دقت محصولات ماهواره‌ای نیز ارزیابی شود.

#### ۶- منابع

- Afzali, R., Zaki, Y., Kaviani Rad, M. & Mohammadkhani, E., 2020, **A Comparative Study of Climate Change and Security Challenges of Water Crisis in Cities of Urmia Lake and Central Iran Basins**, Journal of Urban Social Geography, 7, PP. 167-189.  
<https://dorl.net/dor/20.1001.1.26457784.1399.7.1.9.5>
- Ashrafaizadehafshar, A., Joodaki, G. & Sharifi, M.-A., 2016, **Evaluation of Iran's Underground**

- Iran**, Arabian Journal of Geosciences, 15, PP. 1-14.  
<https://doi.org/10.1007/s12517-022-10602-8>
- Eftekhari, M., Madadi, K. & Akbari, M., 2019, **Monitoring the Fluctuations of the Birjand Plain Aquifer Using the GRACE Satellite Images and the GIS Spatial Analyses**, Watershed Management Research Journal, 32, PP. 51-65.  
<https://doi.org/10.22092/wmej.2019.126204.1218>
- Faraji, Z., Kaviani, A. & Ashrafzadeh, A., 2017, **Assessment of GRACE Satellite Data for Estimating the Groundwater Level Changes in Qazvin Province**, Iranian Journal of Ecohydrology, 4, PP. 463-476.  
<https://doi.org/10.22059/ije.2017.61482>
- Farzaneh, S., Shahhoseini, R. & Kordpour, I., 2021, **Combining Satellite-Based Gravity Data and Information Received from Ground Stations to Provide an Efficient Index for Drought Monitoring in Iran**, Scientific-Research Quarterly of Geographical Data (SEPEHR), 30, PP. 7-17.  
<https://doi.org/10.22131/sepehr.2021.244447>
- Fay, M., Andres, L.A., Fox, C., Narloch, U. & Lawson, M., 2017, **Rethinking Infrastructure in Latin America and the Caribbean: Spending Better to Achieve More**, World Bank Publications.  
<http://hdl.handle.net/10986/27615>
- Friedl, M. & MCD12Q1, S.-M.D., 2006. **MODIS**, Terra+ Aqua Land Cover Type Yearly L3 Global, 500.
- Funk, C., Peterson, P., Landsfeld, M., Pedreros, D., Verdin, J., Shukla, S., Husak, G., Rowland, J., Harrison, L. & Hoell, A., 2015, **The Climate Hazards Infrared Precipitation with Stations—A New Environmental Record for Monitoring Extremes**, Scientific Data, 2, PP. 1-21.  
<https://doi.org/10.1038/sdata.2015.66>
- García, L., Rodríguez, D., Wijnen, M. & Pakulski, I., 2016, **Earth Observation for Water Resources Management: Current Use and Future Opportunities for the Water Sector**, World Bank Publications.
- <http://documents.worldbank.org/curated/en/783571468196447976/Earth-observation-for-water-resources-management-current-use-and-future-opportunities-for-the-water-sector>
- Ghorbani, K., Bararkhan Poor, S., Valizadeh, E. & Molaarazi, A.J., 2020, **Regional Analysis of Trend and Change Point in Seasonal Series of SPEI Drought Index in Iran**, Journal of Water and Soil Conservation, 27, PP. 185-200.  
<https://doi.org/10.22069/jwsc.2020.16525.3178>
- Hafezparast, M., 2021, **Monitoring Groundwater Level Changes of Mianrahan Aquifer with GRACE Satellite Data**, Iranian Journal of Irrigation & Drainage, 15, PP. 428-443.  
<https://dorl.net/dor/20.1001.1.20087942.1400.15.2.16.8>
- Hejazizadeh, Z., Naserzadeh, M., Hatamizarneh, D. & Rezaei, M., 2014, **The Application of Statistical Methods and Drought Indices in the Analysis of Precipitation Fluctuations, A Case Study: Kerman Station**, Geographical Studies of Arid Regions, 5, PP. 35-51.  
[https://jargs.hsu.ac.ir/article\\_161366.html?lang=en](https://jargs.hsu.ac.ir/article_161366.html?lang=en)
- Hering, J., 2014, **A Virtual Flood of Information: Open Data for Sustainable Water Management**.  
<https://futureearth.org/2014/08/27/a-virtual-flood-of-information-open-data-for-sustainable-water-management>
- Huffman, G., Stocker, E., Bolvin, D., Nelkin, E. & Tan, J., 2019, **GPM IMERG Final Precipitation L3 1 month 0.1 degree x 0.1 degree V06**, Greenbelt, MD, Goddard Earth Sciences Data and Information Services Center (GES DISC), In: Accessed 2019-10-08. doi: 10.5067/GPM/IMERG/3BMONTH/06.
- Imani, R., Ghazavi, R. & Esmaeili, A., 2021, **Investigating the Trend, Analysis, Modeling and Prediction of Monthly Rainfall Using Stochastic Models (Case Study of Ardabil Station)**, Geographical Studies Of Arid Regions, 11, PP. 84-98.  
<https://www.researchgate.net/publication/373707178>

- Issazadeh, V. & Argany, M., 2021, **Changes in Water Surface of Aquifers Using GRACE Satellite Data in the Google Earth Engine: A Study of the Urmia Lake Watershed From 2002 to 2017**, Town & Country Planning (2008-7047), 13, PP. 193-214.  
DOI: 10.22059/jtcp.2020.304748.670127
- Jones, J., 2009, **Threats to Global Water Security: Population Growth, Terrorism, Climate Change, or Commercialisation?**, Threats to Global Water Security (PP. 3-13), Springer.  
[https://link.springer.com/chapter/10.1007/978-90-481-2344-5\\_1](https://link.springer.com/chapter/10.1007/978-90-481-2344-5_1)
- Karami, S., 2021, **Investigating the Consequences and Methods of Climate Change Management (Case Example: Iran's Central Watershed)**, Applied Research Journal of Geographical Sciences, 20, PP. 19-37.  
<http://dx.doi.org/10.29252/jgs.20.59.19>
- Kavianirad, M., Karimi Pour, Y., Fahmi, H. & Karami, S., 2017, **Explanation of Security Sequences of Climate Change (Case Study: Iran's Central Drainage Basin)**, Journal of Applied researches in Geographical Sciences, 17, PP. 73-92.  
<http://dorl.net/dor/20.1001.1.22287736.1396.17.46.4.4>
- Kendall, M., 1975, **Rank Correlation Measures**, Vol. 202, Charles Griffin, London.
- Landerer, F.W. & Swenson, S., 2012, **Accuracy of Scaled GRACE Terrestrial Water Storage Estimates**, Water Resources Research, 48.  
<https://doi.org/10.1029/2011WR011453>.
- Lettenmaier, D.P., Alsdorf, D., Dozier, J., Huffman, G.J., Pan, M. & Wood, E.F., 2015, **Inroads of Remote Sensing into Hydrologic Science during the WRR Era**, Water Resources Research, 51, PP. 7309-7342.  
<https://doi.org/10.1002/2015WR017616>
- Lorenz, C. & Kunstmann, H., 2012, **The Hydrological Cycle in Three State-of-the-Art Reanalyses: Intercomparison and Performance Analysis**, Journal of Hydrometeorology, 13, PP. 1397-1420.  
<https://doi.org/10.1175/JHM-D-11-088.1>
- Mann, H.B., 1945, **Nonparametric Tests against Trend**, Econometrica: Journal of the Econometric Society, PP. 245-259.  
<https://doi.org/10.2307/1907187>
- Mazidi, A. & Bahaaddinbeygi, H., 2021, **Study of Temperature, Precipitation and Wind Speed Trends in the Northern and Western Regions of Kerman Province Using Parametric and Non-Parametric Tests**, Geography and Human Relationships, 4, PP. 246-254.  
<https://doi.org/10.22034/gahr.2021.296784.1587>
- McCabe, M.F., Rodell, M., Alsdorf, D.E., Miralles, D.G., Uijlenhoet, R., Wagner, W., Lucieer, A., Houborg, R., Verhoest, N.E. & Franz, T.E., 2017, **The Future of Earth Observation in Hydrology**, Hydrology and Earth System Sciences, 21, PP. 3879-3914.  
<https://hess.copernicus.org/articles/21/3879/2017>
- Mostafazadeh, R. & Zabihi, M., 2016, **Comparison of SPI and SPEI Indices to Meteorological Drought Assessment Using R Programming (Case Study: Kurdistan Province)**, Journal of the Earth and Space Physics, 42, PP. 633-643.  
<https://doi.org/10.22059/jesphys.2016.57881>
- Mozafari, E., Bazrafshan, O., & Moradi ,N. (2021). **Spatio-Temporal Variability of Characteristics of Meteorological Drought in Iran under Climate Change Scenarios**. Desert Management, 16, 153-168.  
<https://dorl.net/dor/20.1001.1.24763985.1399.8.16.10.0>
- Nemati, A., Ghoreishi Najafabadi, S.H., Joodaki, G. & Mousavi Nadoushani, S.S., 2019, **Evaluation of Agricultural Drought Characteristics in Iran's Central Plateau Catchment Using GRACE Satellite**, Iranian Journal of Soil and Water Research, 50, PP. 313-327.  
<https://doi.org/10.22059/ijswr.2018.251136.667840>
- Omidvar, K. & Salari, H., 2013, **Studying the Trend of Heat and Precipitation Changes in the West and Northwest of Iran Using Parametric and Non-Parametric Methods**, Geography (scientific-research quarterly of

- the Iranian Geography Association), 11, PP. 271-288.  
<https://sid.ir/paper/150411/fa>
- Pouyan, S., Bordbar, M., Ravichandran, V., Tiefenbacher, J.P. & Pourghasemi, H.R., 2022, **Spatio-Temporal Monitoring of Droughts in Iran Using Remote-Sensing Indices**, Natural Hazards, 117, PP. 1-24.  
<https://doi.org/10.1007/s11069-023-05847-9>
- Research Center of the Islamic Council, O.o.I.S., 2016, **Investigation of the Water Crisis and Its Consequences in Iran**, In Tehran: Research Center of the Islamic Council, Office of Infrastructure Studies.
- Salmi, T., 2002, **Detecting Trends of Annual Values of Atmospheric Pollutants by the Mann-Kendall Test and Sen's Slope Estimates-the Excel Template Application MAKESENS**, Ilmatieteen laitos.  
[https://www.researchgate.net/publication/259356944\\_Detecting\\_Trends\\_of\\_Annual\\_Values\\_of\\_Atmospheric\\_Pollutants\\_by\\_the\\_Mann-Kendall\\_Test\\_and\\_Sen's\\_Slope\\_Estimates\\_the\\_Excel\\_Template\\_Application\\_MAKESENS](https://www.researchgate.net/publication/259356944_Detecting_Trends_of_Annual_Values_of_Atmospheric_Pollutants_by_the_Mann-Kendall_Test_and_Sen's_Slope_Estimates_the_Excel_Template_Application_MAKESENS)
- Serinaldi, F. & Kilsby, C.G., 2017, **A Blueprint for Full Collective Flood Risk Estimation: Demonstration for European River Flooding**, Risk Analysis, 37, PP. 1958-1976.  
<https://doi.org/10.1111/risa.12747>
- Seyed Mousavi, S.M. & Akhoondzadeh Hanzaei, M., 2022, **Monitoring and Prediction of the Changes in Water Zone of Wetlands Using an Intelligent Neural-Fuzzy System Based on Data from Google Earth Engine System (Case Study of Anzali Wetland, 2000-2019)**, Engineering Journal of Geospatial Information Technology, 9, PP. 19-42.  
<http://jgit.kntu.ac.ir/article-1-850-en.html>
- Sheffield, J., Wood, E.F., Pan, M., Beck, H., Coccia, G., Serrat-Capdevila, A. & Verbist, K., 2018, **Satellite Remote Sensing for Water Resources Management: Potential for Supporting Sustainable Development in Data-Poor Regions**, Water Resources Research, 54, PP. 9724-9758.  
<https://doi.org/10.1029/2017WR022437>
- Soleimani Sardoo, F. & Azareh, A., 2021, **Evaluation of Groundwater Level Fluctuations in Jiroft Plain Using GRACE Satellite Images**, Environmental Erosion Research Journal, 10, PP. 58-73.  
<http://magazine.hormozgan.ac.ir/article-1-596-en.html>
- Srivastava, A. & Saran, S., 2017, **Comprehensive Study on AOD Trends over the Indian Subcontinent: A Statistical Approach**, International Journal of Remote Sensing, 38, PP. 5127-5149.  
<https://doi.org/10.1080/01431161.2017.1323284>
- Swenson, S., 2012, **GRACE Monthly Land Water Mass Grids NETCDF RELEASE 5.0. Ver. 5.0**, PO. DAAC.
- Taheri Dehkordi, A., Valadan Zoej, M.J., Ghasemi, H., Jafari, M. & Mehran, A., 2022, **Monitoring Long-Term Spatiotemporal Changes in Iran Surface Waters Using Landsat Imagery**, Remote Sensing, 14, P. 4491.  
<https://doi.org/10.3390/rs14184491>
- Tamiminia, H., Salehi, B., Mahdianpari, M., Quackenbush, L., Adeli, S. & Brisco, B., 2020, **Google Earth Engine for Geo-Big Data Applications: A Meta-Analysis and Systematic Review**, ISPRS Journal of Photogrammetry and Remote Sensing, 164, PP. 152-170.  
<https://doi.org/10.1016/j.isprsjprs.2020.04.001>
- United Nations, 2016, **Transforming Our World: The 2030 Agenda for Sustainable Development**.  
<https://sustainabledevelopment.un.org/post2015/transformingourworld/publication>
- Van Dijk, A. & Renzullo, L.J., 2011, **Water Resource Monitoring Systems and the Role of Satellite Observations**, Hydrology and Earth System Sciences, 15, PP. 39-55.  
<http://dx.doi.org/10.5194/hess-15-39-2011>
- Vicente-Serrano, S.M., Beguería, S. & López-Moreno, J.I., 2010, **A Multiscalar Drought Index Sensitive to Global Warming: The Standardized Precipitation Evapotranspiration Index**, Journal of Climate, 23, PP. 1760-1772.

- tion Index**, Journal of Climate, 23, PP. 1696-1718.  
<https://doi.org/10.1175/2009JCLI2909.1>
- Walker, S., 2000, **The Value of Hydrometric Information in Water Resources Management and Flood Control**, Meteorological Applications, 7, PP. 387-397.  
<https://doi.org/10.1017/S1350482700001626>
- Wan, Z., Hook, S. & Hulley, G., 2015, **MOD11A2 MODIS/Terra Land Surface Temperature/Emissivity8-Day L3 Global 1 Km SIN Grid V006; Distributed by NASA EOSDIS LP DAAC**, USGS, Sioux Falls.
- Zabihi, M., Mostafazadeh, R. & Sharari, M., 2017, **Analysis of Wet and Dry Spells Intensity and Duration Using Precipitation-Based and Evapotranspiration Influenced Indices**, Journal of Watershed Management Research, 8, PP. 125-136.  
<https://www.researchgate.net/publication/319913570>
- Zhang, Y., Pan, M. & Wood, E.F., 2016, **On Creating Global Gridded Terrestrial Water Budget Estimates from Satellite Remote Sensing**, Remote Sensing and Water Resources (PP. 59-78), Springer.  
[https://citations.springernature.com/item?doi=10.1007/978-3-319-32449-4\\_4](https://citations.springernature.com/item?doi=10.1007/978-3-319-32449-4_4)



# سنجش از دور و ایران GIS



سنجش از دور و GIS ایران سال پانزدهم، شماره چهارم، زمستان ۱۴۰۲  
Vol.15, No. 4, Winter 2023 Iranian Remote Sensing & GIS

41-60

## An analysis of the Trend Changes in Water Resources and Factors Affecting it in the Central Plateau of Iran Using Satellite Products

Ebrahimi Khusfi M.<sup>1\*</sup> and Ebrahimi Khusfi Z.<sup>2</sup>

1. Assistant prof. in Remote Sensing, Dep. of Geography, Yazd University, Yazd

2. Associate Prof., Dep. of Environmental Science and Engineering, Faculty of Natural Resources, University of Jiroft, Jiroft

### Abstract

The Central Plateau of Iran, due to climate changes and the reduction of available water resources on one hand, and the increase in population and the consequent increase in demand on the other hand, is facing a severe water crisis. The science of remote sensing and the availability of numerous satellite products have made it possible to monitor the process of changes in various environmental parameters, especially surface and underground water sources, with appropriate accuracy. For this purpose, using the Google Earth Engine system, 16 different satellite products including different environmental parameters such as precipitation, temperature, evaporation and transpiration, soil moisture, runoff, total water storage (GRACE), vegetation cover index and water surface area were received and prepared for the time period 2000-2022. Then, using the non-parametric Mann-Kendall test and the Sen's slope estimator, the change trend of these parameters was investigated. According to the results, the changes in earth's gravity, which indicates the level of underground water, as well as the area of water surfaces, which indicates surface water resources, and soil moisture, showed a significant decreasing trend. On the other hand, maximum temperature, minimum temperature, potential evaporation and transpiration and NDVI index have a significant increasing trend. Despite the decrease in water surface area, the vegetation cover index has increased, which indicates the increase in the area under cultivation of agricultural products and excessive harvesting of underground water resources, which is also confirmed by the decreasing trend of the GRACE satellite product. The correlation coefficients between parameters with significant trends also showed that there is a significant correlation between GRACE and NDVI parameters, minimum temperature, maximum temperature, soil moisture and area of surface water bodies.

**Keywords:** Remote sensing, Changes trend, Google Earth Engine, Surface water resources, Underground water resources, Water bodies.

\* Correspondence Address: No. 215 ,Emamat Blvd., Yazd University, Safaeie, Yazd. Tel: 09123804637–03531233894  
Email: Mohsen.ebrahimi@yazd.ac.ir  
<https://orcid.org/0000-0002-2756-0388>  
<https://doi.org/10.48308/gisj.2022.102889>



Copyright: © 2023 by the authors. Submitted for possible open access publication under the terms and conditions of the Creative Commons Attribution (CC BY) license (<https://creativecommons.org/licenses/by/4.0/>).